



## Raman-Spektrum

2330

Messergebnis für Fund 4626, Punkt 4

1/4

© by Günter Frenz 2013; ram-4626-4; Version 1.0; 21. Februar 2021

## Daten

Datum/Uhrzeit	2021-02-20 20:54:06
Integrationszeit	5000 ms
Gemittelte Messungen	4
Laser Leistung	100 % (532 nm)
Ergebnis	Zirkon
Bemerkungen	Gute Übereinstimmung der Raman-Banden. Das Spektrum enthält deutliche SEE-Fluoreszenz (vermutl. Er) EDX1: O 65.77%, Si 15.99%, Zr 15.25%, Ca 2.14%, Al 0.38%, Na 0.25%, Hf 0.23% EDX2: O 65.61%, Si 15.94%, Zr 15.22%, Ca 2.18%, Na 0.32%, K 0.27%, Al 0.24%, Hf 0.23%

## Plots

Ramanspektrum ram-4626-4, Steinbr. Wingertsberg Bims, Mendig, RLP, DE

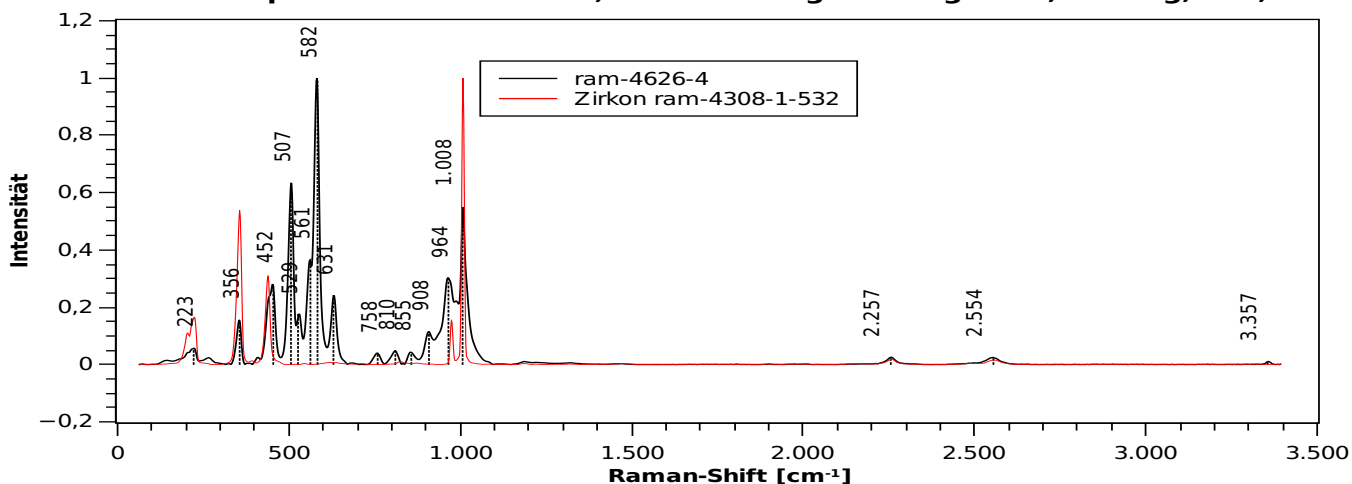


Abbildung 1: Gesamter Messbereich und Referenz

Ramanspektrum ram-4626-4, Steinbr. Wingertsberg Bims, Mendig, RLP, DE

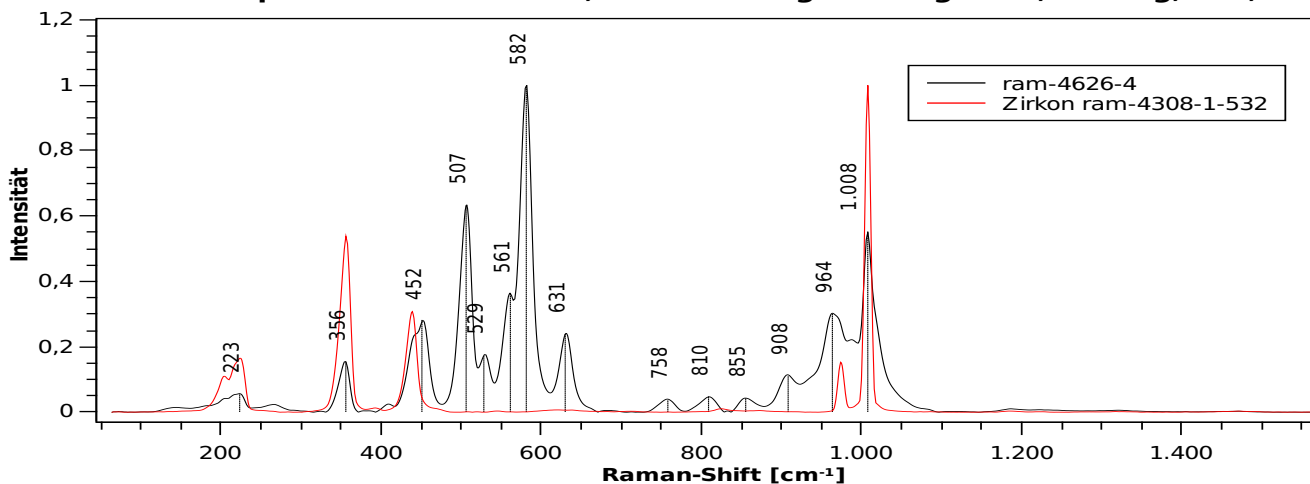


Abbildung 2: Detail und Referenz



<b>Raman-Spektrum</b>	<b>2330</b>
Messergebnis für Fund 4626, Punkt 4	<b>2/4</b>
© by Günter Frenz 2013; ram-4626-4; Version 1.0; 21. Februar 2021	

## Screenshots

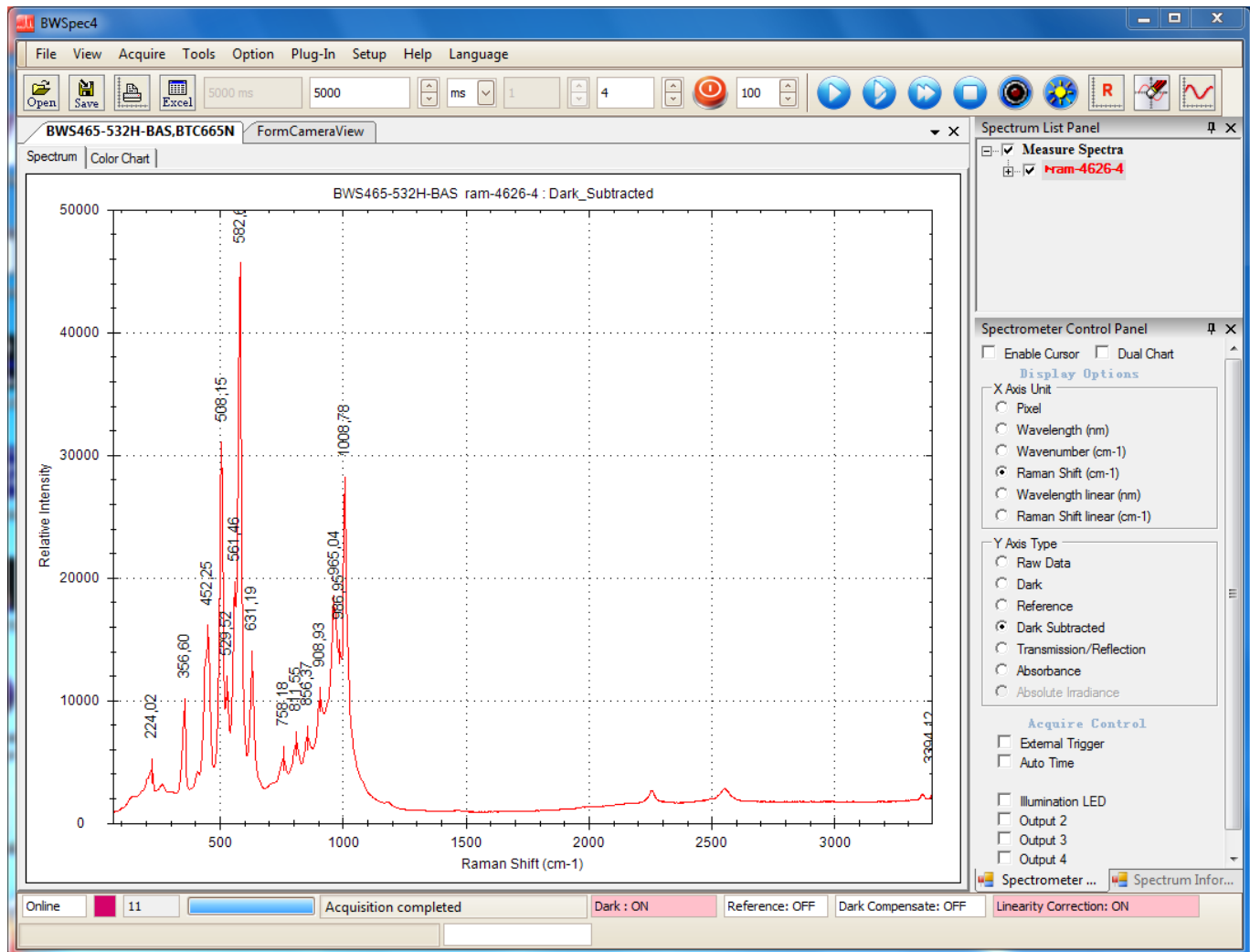


Abbildung 3: Spektrum mit Peaks

% Match:	Spectrum Name:	RRUFF ID:
77	Verplanckite (514nm)	R050265
75	Romanechite (532nm)	R060337
73	Coronadite (785nm)	R070320
72	Deerite (785nm)	R070393
71	Hydroxylherderite (785nm)	R060353
69	Mullite (Mnlm)	R150147
68	Hollandite (785nm)	R060852
68	Tuperssuatsiaite (532nm)	R050223
68	Metauranocircite-I (532nm)	R050575
68	Strakhovite (532nm)	R080039
68	Coronadite (532nm)	R090056
68	Metauranocircite (532nm)	R070721
67	Herderite (532nm)	R100064

Search

Abbildung 4: Korrelationsergebnisse



# Raman-Spektrum

2330

Messergebnis für Fund 4626, Punkt 4

3/4

© by Günter Frenz 2013; ram-4626-4; Version 1.0; 21. Februar 2021

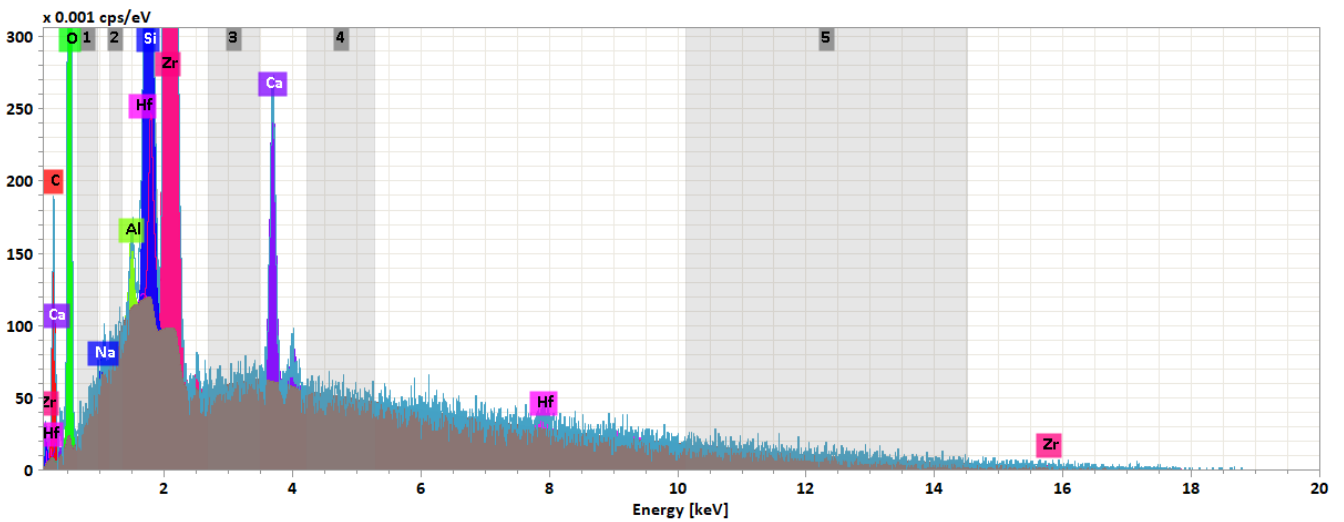
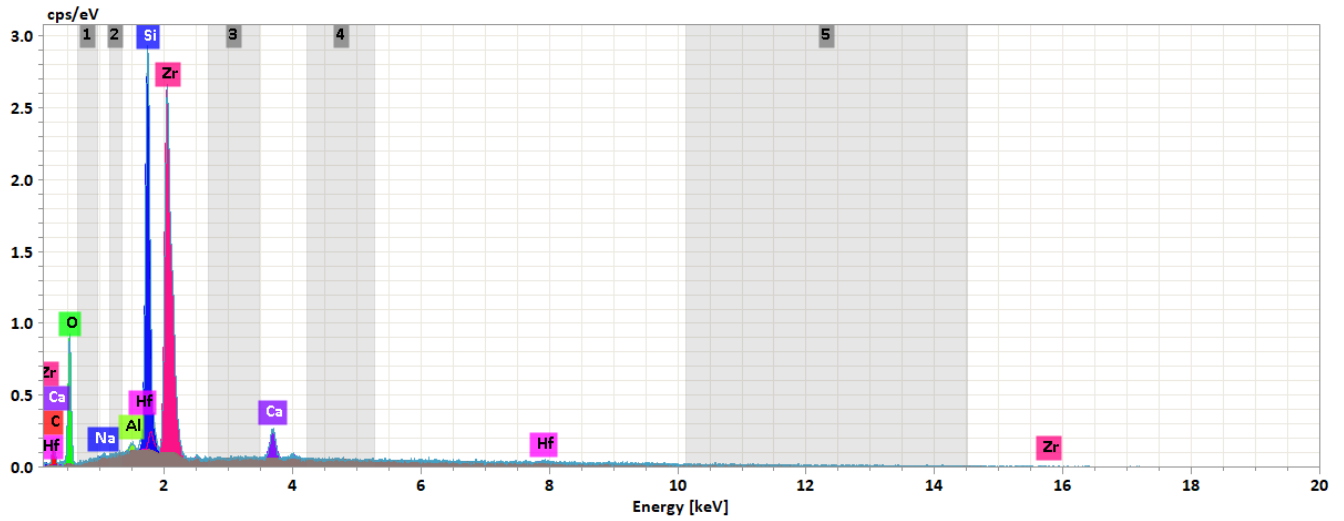


Abbildung 5: EDX-Spektrum mit Untergrundmodellierung



edx-4626-5

Element	Line s.	Netto	Mass [%]	Mass Norm. [%]	Atom [%]	Comp.	Sto. Norm. [%]	abs. error [%] (1 sigma)
Sum			93.03	100.00	100.00		100.00	
O	K-Serie	8482	32.25	34.67	65.77		0.00	4.65
Si	K-Serie	40085	13.76	14.80	15.99	SiO2	31.65	0.61
Zr	L-Serie	57796	42.64	45.83	15.25	ZrO2	61.91	1.65
Ca	K-Serie	4258	2.62	2.82	2.14	CaO	3.95	0.12
Al	K-Serie	664	0.31	0.33	0.38	Al2O3	0.63	0.05
Na	K-Serie	171	0.17	0.19	0.25	Na2O	0.25	0.05
Hf	L-Serie	526	1.27	1.36	0.23	HfO2	1.61	0.10
C	K-Serie	1368	0.00	0.00	0.00		0.00	0.00

Abbildung 6: Messpunkt und EDX-Ergebnistabelle



# Raman-Spektrum

2330

## Messergebnis für Fund 4626, Punkt 4

4/4

© by Günter Frenz 2013; ram-4626-4; Version 1.0; 21. Februar 2021

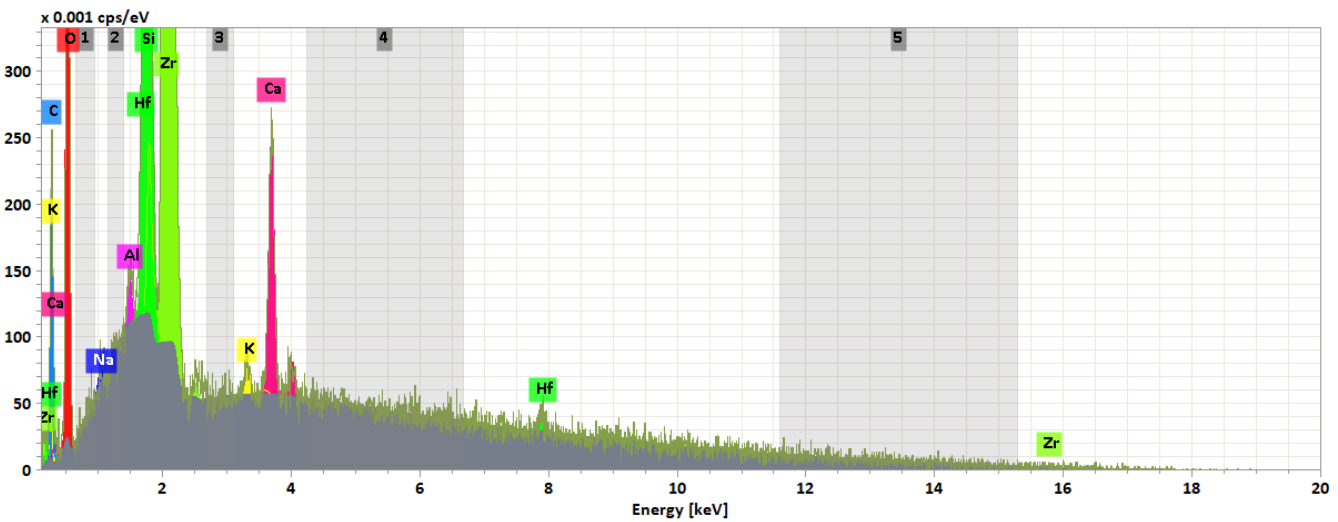
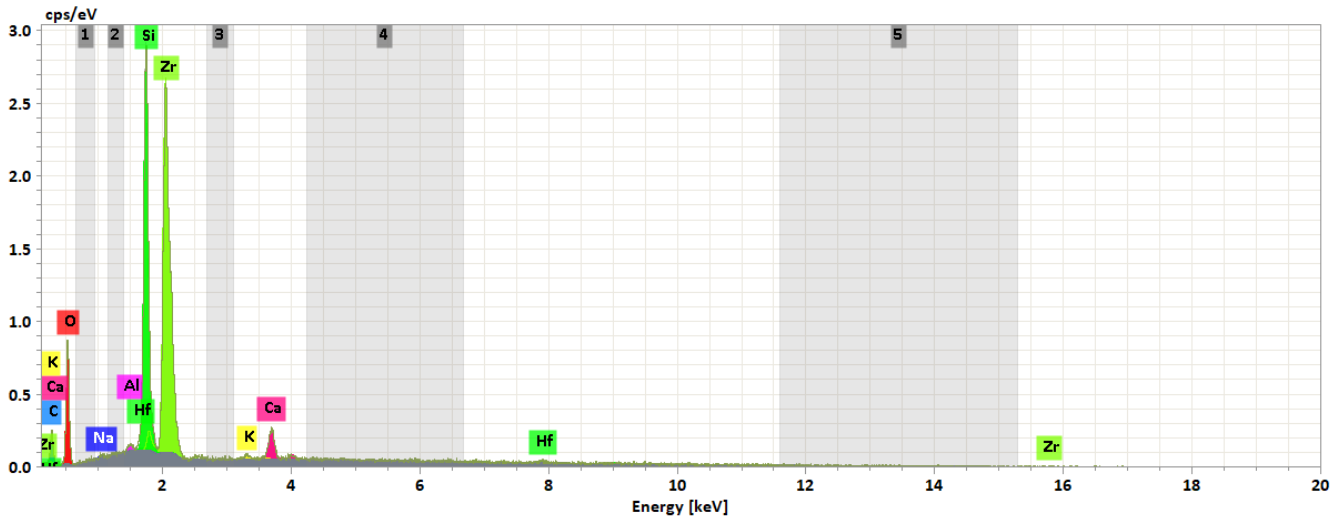


Abbildung 7: EDX-Spektrum mit Untergrundmodellierung



edx-4626-6

Element	Line s.	Netto	Mass [%]	Mass Norm. [%]	Atom [%]	Comp.	Sto. Norm. [%]	abs. error [%] (1 sigma)
		<b>Sum</b>	<b>97.00</b>	<b>100.00</b>	<b>100.00</b>		<b>100.00</b>	
O	K-Serie	7838	33.52	34.55	65.61		0.00	4.89
Si	K-Serie	39877	14.29	14.73	15.94	SiO2	31.52	0.64
Zr	L-Serie	57933	44.32	45.69	15.22	ZrO2	61.72	1.71
Ca	K-Serie	4091	2.79	2.88	2.18	CaO	4.02	0.12
Na	K-Serie	228	0.24	0.24	0.32	Na2O	0.33	0.05
K	K-Serie	516	0.33	0.34	0.27	K2O	0.41	0.04
Al	K-Serie	435	0.21	0.22	0.24	Al2O3	0.41	0.04
Hf	L-Serie	517	1.30	1.34	0.23	HfO2	1.59	0.10
C	K-Serie	1866	0.00	0.00	0.00		0.00	0.00

Abbildung 8: Messpunkt und EDX-Ergebnistabelle